

## بررسی اثر ایمونومدولاتوری مولکول LVA بر شکل مزمن کولیت اولسراتیو تجربی

علی خدادادی<sup>۱\*</sup>(M.D)، سید عباس میرشفیعی<sup>۱</sup>(M.D)، محمدباقر اسلامی<sup>۱</sup>(M.D)، سید علی رضا رضوی<sup>۱</sup>(M.D) و خدیجه حکمت<sup>۲</sup>(M.D)

۱- دانشگاه علوم پزشکی تهران، دانشکده بهداشت و انتیپتو تحقیقات بهداشتی، گروه پاتوبیولوژی

۲- دانشگاه علوم پزشکی اهواز، دانشکده پرستاری و مامایی، گروه مامایی

### چکیده

سابقه و هدف: بیماری‌های التهابی روده (IBD) اصطلاحی است که برای گروهی از بیماری‌های التهابی دستگاه گوارش با اتیولوژی نامشخص به کار می‌رود. کولیت اولسروز (UC) و بیماری کرون (CD) دو نوع اصلی از این بیماری می‌باشند که مشخصه این بیماری‌ها افزایش مدیاتورهای التهابی نظیر IL-1<sub>α</sub>, IL-6, TNF-<sub>α</sub>, LTB<sub>4</sub> و PGE<sub>2</sub> می‌باشد. نظر به مطرح شدن نقش ایمونومدولاتوری (LVA7220) در تعدیل پروسه‌های التهابی در سال‌های اخیر بر آن شدیدم که اثر این ماده را بر شکل مزمن کولیت تجربی در رت مورد کنکاش قرار دهیم. این ماده از مشتقات آلزینات می‌باشد و پلی‌ساقاریدی است که از جلبک‌های قهقهه‌ای به دست می‌آید و از دو نوع اسید ارونیک (D-مانورونیک و L-گلورونیک اسید) تشکیل شده است.

مواد و روش‌ها: در این مطالعه با روش TNBS به میزان ۱۲۰ میلی‌گرم در میلی‌لیتر از ماده TNBS حل شده در اتانول ۵۰٪ با تلقیح ۰/۲۵ میلی‌لیتر به هر رت، فرم مزمن بیماری ایجاد شد. حیوانات شامل گروه‌های بیمار (P)، درمان شده (T) و پیش‌درمانی (M) جهت هفته اول، دوم، سوم و ششم و نیز گروه کنترل و نرمال به تعداد ۵ = n برای هر گروه منظور گردید که گروه‌های M و T محلول ۵g/lit LVA را به صورت خوراکی دریافت می‌کردند. ارزیابی با استفاده از روش ELISA برای اندازه‌گیری مدیاتورهای التهابی سرم نظیر IL-6, TNF-<sub>α</sub>, LTB<sub>4</sub> و PGE<sub>2</sub> و همچنین ارزیابی ماکروسکوپیک روده با روش Gerald و ارزیابی میکروسکوپ با استفاده از لامهای تهیه شده، صورت پذیرفت.

یافته‌ها: نتایج سنجش سایتوکاین‌ها و ارزیابی میکروسکوپیک، نشان‌دهنده اختلاف معنی‌دار بین گروه‌های M و T با گروه P می‌باشد. درخصوص پارامترهای IL-6, TNF-<sub>α</sub> و LTB<sub>4</sub> بین گروه بیمار و درمان شده اختلاف معنی‌دار وجود داشت که مؤید اثر مهاری LVA بر این پارامترهای التهابی می‌باشد.

نتیجه‌گیری: بنابراین LVA می‌تواند به عنوان عامل مهمی در تعدیل پاسخ‌های التهابی که منجر به تخریب بافت روده در بیماری IBD می‌شوند مطرح گردد.

واژگان کلیدی: بیماری التهابی روده، آلزینات، کولیت اولسروز، بیماری کرون.

(CD) دو نوع اصلی از این بیماری می‌باشند، این بیماری‌ها

مزمن و عود کننده‌اند [۱۲].

IBD با آنومالی‌های ایونولوژیک همراه است. اختلال پاسخ اینی مخاطی، دخالت سایتوکاین‌های التهابی مثل IL-1, IL-6 و

### مقدمه

بیماری التهابی روده (IBD) اصطلاحی است که برای گروهی از بیماری‌های التهابی دستگاه گوارش با اتیولوژی نامعلوم به کار می‌رود. کولیت اولسروز (UC) و بیماری کرون (CD)

IL-6 و TNF- $\alpha$  و برخی متابولیت‌های اسید آراشیدونیک مثل PGE<sub>2</sub> و LTB<sub>4</sub> در سرم حیوان، مورد ارزیابی قرار گرفت.

## مواد و روش‌ها

حیوانات. را Rat با میانگین وزن  $180 \pm 20$  gr و سن ۸-۱۰ هفته از انسنتیو رازی شهرستان کرج تهیه گردید. حیوانات یک هفته قبل از آزمایش تحت نظر بوده و با شرایط محیط وفق داده شدند. آنها به تعداد ۶-۵ حیوان در هر قفس نگهداری می‌شدند، دسترسی آسان به آب و غذا داشتند و در دمای  $25 \pm 2^\circ\text{C}$  و رطوبت ۷۰-۶۵٪ در اطاق حیوانات دانشکده بهداشت تهران نگهداری شدند. در این تحقیق حیوانات به چند گروه که شامل گروه هفتۀ اول، دوم، سوم و ششم بود تقسیم شدند. هر گروه خود شامل سه دسته ۵ تایی Rat و مشتمل بر گروه بیمار (Patient) T، گروه پیش‌درمانی M (Pretreatment) و گروه درمانی P (Treatment) بودند. گروه پیش‌درمانی (M) ۲۴ ساعت قبل از القاء بیماری، LVA را که به مقدار ۵gr/lit در آب حل شده بود؛ به صورت خوارکی و به میزان (g/kg) ۰/۷۷ - ۰/۶۵ در هر ۲۴ ساعت دریافت نمودند و حیوانات گروه P هیچ دارویی دریافت ننمودند.

به منظور تهیه گروه‌های کنترل، سه گروه ۵ تایی همراه با گروه‌های دیگر در قفس نگهداری شدند. گروه اول یا گروه N (Normal) هیچ‌گونه دارویی دریافت نکردند. دو گروه دیگر E<sub>1</sub> و E<sub>2</sub> (Experimental) که رت‌های سالم دریافت‌کننده دارو بودند، بدون ایجاد بیماری دارو را به مدت یک هفته و شش هفته به ترتیب با همان مقدار ذکر شده دریافت نمودند. القاء بیماری. با استفاده از TNBS تهیه شده از شرکت Sigma (LOT: 21k5009) به میزان ۱۲۰ میلی‌گرم در میلی‌لیتر الکل اتانول ۵٪ تهیه و به هر رت ۲۵٪ میلی‌لیتر از طریق آنوس و با استفاده از کاتتر با قطر خارجی ۲/۵-۲ میلی‌متر در عمق هشت سانتی‌متری روده بزرگ تلقیح شد [۹].

TNF- $\alpha$  و واسطه‌های التهابی دیگری نظیر متابولیت‌های اسید آراشیدونیک در پاتوژنر التهاب روده گزارش شده است [۱۲-۱۳]. در دهه گذشته اثرات درمانی و یا پیش‌درمانی برخی از مواد تعدیل‌کننده یا مهارکننده این مدیاتورها بر جنبه‌های مختلف کولیت تجربی که IBD انسان را تقلید می‌کند، بررسی شده است و چنان‌چه به نحو مناسبی انتخاب شوند، برای شناخت مکانیسم‌های پاتوفیزیولوژیک و نیز پایه‌گذاری فرضیات جدید سودمند خواهند بود. بعلاوه این مدل‌های تجربی برای آزمایش ترکیبات درمانی تازه در مرحله Pre-Clinical بسیار مفید می‌باشند [۱۱].

LVA (از مشتقات اسید آژینیک) که منبع اصلی آن جلبک‌های قهوه‌ای می‌باشد؛ پلی‌ساقاریدی است که از دو نوع اسید ارونیک، (D)-مانورونیک اسید و L-گلورونیک اسید تشکیل شده است. نسبت این اسیدها در آژینات‌ها متفاوت است. این کوبلی مر، قابل تجزیه است؛ سمی نیست و سازگاری زیستی دارد [۱۴].

بر طبق گزارشات موجود، اسیدهای آژینیک دارای اثر مهارکننده‌ی بر روی فعالیت هیالورونیداز و نیز آزاد شدن هیستامین از سلول‌های mast cell می‌باشد، به‌طوری‌که ممانعت از آزاد شدن هیستامین باعث کاهش روند التهاب می‌شود [۱]. توانایی آژینات‌ها در مهار مکانیسم‌های دفاعی موضعی میزان و نیز اثر مهارکننده‌ی این ماده بر مهاجرت تصادفی، کمتوکسی و فعالیت شانت هگزوز منوفسفات نوتروفیل‌ها و ترانسفورماتیون لنسفوسیت‌ها که همگی در پروسه التهاب روده نقش دارند گزارش شده است [۸].

در تحقیق حاضر اثر ایونومدولاتوری مولکول LVA در فرم مزمن کولیت تجربی مورد بررسی قرار گرفت. القاء کولیت التهابی با استفاده از تری‌نیتروبنزن سولفونیک اسید (TNBS) انجام شد که مدل مناسبی برای مطالعه روند پیشرفت التهاب از حالات حاد به مزمن می‌باشد [۹]. در مدل مذکور اثر پیش‌درمانی و درمانی LVA بر تغییرات ماکروسکوپیک و میکروسکوپیک بافت ملتهب و سایتوکاین‌های التهابی نظیر

Gerald کلون توسط ۳ نفر متخصص با استفاده از روش براساس جدول ۱ برای هر غونه بین صفر تا ۵ نفره‌گذاری شد [۴].

الف. ارزیابی ماکروسکوپیک رت‌ها. بعد از پایان هفته اول، دوم، سوم و ششم القاء بیماری، به منظور تهیه لام و روده، حیوان بیهوش و پس از باز کردن شکم و خون‌گیری از قلب، ۱۰ cm انتهایی کلون جدا گردید و بلا فاصله بعد از آن غونه

جدول ۱. کرایتریای نفره‌گذاری آسیب بافتی در نای ظاهری در بیماران مبتلا به (Gerald method)IBD

Criteria of scoring of IBD morphological damage (Gerald method)	
Score	Gross morphology
0	No damage
1	Localized hyperemia, but no ulcers
2	Linear ulcers with no significant inflammation
3	Linear ulcers with inflammation at one site
4	Two or more sites of ulceration and / or inflammation
5	Two or more major sites of inflammation and ulceration or one major site of Inflammation and ulceration extending > 1 cm along the length of the colon

جدول ۲. ارزیابی پاتولوژیک با استفاده از روش اصلاح شده Wallace

Inflammation	Non	Mild	Medium	Severe	
	-	+	++	+++	
Depth.of lesion	Non	Laminapropria	Submucos	Muscular	Serosa
	-	+	++	+++	++++
Fibrosis	Non	Mild	Severe		
	-	+	++		

استفاده گردید و در دو حالت، P value کمتر از ۰/۰۵ test معنی‌دار تلقی شد.

ب. ارزیابی میکروسکوپیک. تهیه لام به منظور ارزیابی پاتولوژیک با استفاده از روش اصلاح شده Wallace و براساس جدول ۲ مطالعات هیتسوپاپاتولوژیک صورت گرفت [۱۸].

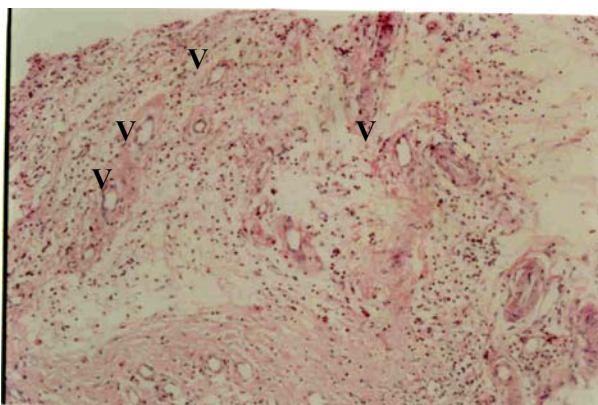
## نتایج

نتایج حاصل از مشاهدات کلینیکی جداول ۳ و ۴، وجود اختلاف معنی‌دار بین گروه‌های پیش‌درمانی (M) و بیمار (P) در کلیه هفته‌ها را نشان می‌دهد، که مؤید تأثیر دارو درجلوگیری از اثرات القائی TNBS می‌باشد. جدول ۴ نایان‌گر مقایسه گروه‌های بیمار (P) درمان شده (T) می‌باشد که در گروه درمان در کلیه هفته‌ها کاهش نشان می‌دهد ولی این کاهش از نظر آماری معنی‌دار نیست.

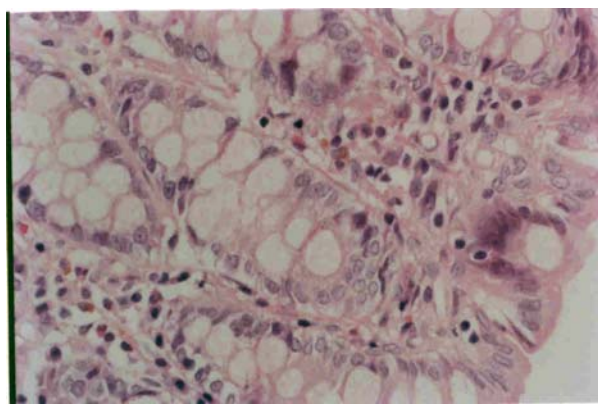
نتایج ارزیابی پاتولوژیکی لام‌های تهیه شده، اختلاف معنی‌دار بین گروه‌های بیمار (P) در مقایسه با گروه‌های درمان شده (T) و پیش‌درمانی (M) نشان می‌دهد. فتومیکروگراف‌های ۱، ۲، ۳ و ۴، منحنی‌های ۱، ۲، ۳ و ۴ نتیجه سنجش مدیاتورهای مختلف در هفته‌های اول تا ششم،

اندازه‌گیری مدیاتورهای التهابی در سرم. غونه‌های سرم به دست آمده از هفته‌های اول، دوم، سوم و ششم با استفاده از Assay مخصوص الیزا، تهیه شده از شرکت Designs، از نظر میزان مدیاتورهای IL-6 و TNF-α و PGE<sub>2</sub> و LTB<sub>4</sub> مورد ارزیابی قرار گرفتند.

آنالیز آماری. شاخص‌های اندازه‌گیری شده (سایتوکاین‌ها و ایکوزانوئیدها) به صورت Mean±SD بیان گردید. به منظور مقایسه گروه‌های بیمار (P)، پیش‌درمانی (M) و درمانی (T) از روش ANOVA یک طرفه استفاده شد. برای ارزیابی شاخص‌های غیرپارامتریک، از روش U Mann Whitney

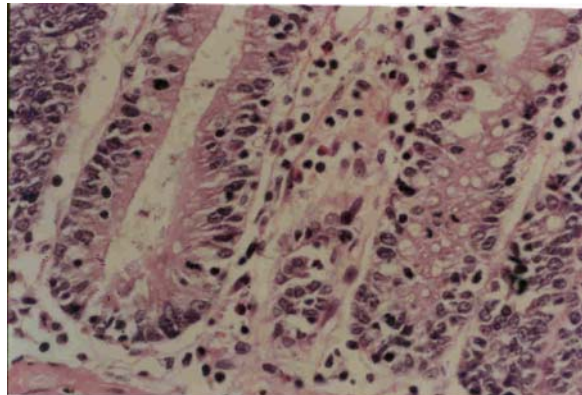


فتو میکرو گراف ۳. ساختمان بافت شناسی دیواره کولون گروه بیمار (P) در کولیت القاء شده با TNBS در هفته ششم، هموراژی و حضور گسترده عروق خونی (V) در تمام ساختار مشاهده می شود. (رنگ آمیزی X40 ، H + E)

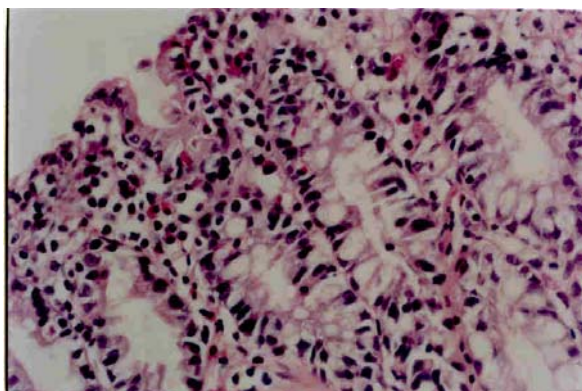


فتو میکرو گراف ۴. ساختمان بافت شناسی دیواره کولون رت گروه درمان شده (T) در کولیت القاء شده با TNBS در هفته ششم. همان گونه که مشاهده می شود ساختار عمومی بافت در مقایسه با گروه بیمار هفته ششم کولیت القاء شده با TNBS از نظر ارتضاح سلوهای لنفوسي دارای حالت نزديک به نرمال می باشد. (رنگ آمیزی X40 ، H + E)

مؤید وجود اختلاف معنی دار در خصوص پارامترهای IL-6، TNF- $\alpha$  و LTB<sub>4</sub> بین گروه بیمار (P) با گروه های درمان (T) و پیش درمانی (M) می باشد. از طرفی ارقام مربوط به پارامتر PGE<sub>2</sub> اگرچه کاهش نشان می دهند ولی این اختلاف معنی دار نبود.



فتو میکرو گراف ۱. ساختمان بافت شناسی دیواره کولون رت در حالت طبیعی (رنگ آمیزی X40 ، H + E)



فتو میکرو گراف ۲. ساختمان بافت شناسی دیواره کولون گروه بیمار (P) در کولیت القاء شده با TNBS در هفته ششم. ارتضاح سلوهای لنفاوی، درهم ریختگی بافت قابل مشاهده است (رنگ آمیزی X40 ، H + E)

جدول ۳. نتایج حاصل از مشاهدات کلینیکی غونه های روده بین گروه بیمار (P) و گروه پیش درمانی (M) در کولیت القاء شده با

(Man-whitney U test) در هفته های اول، دوم، سوم و ششم با استفاده از روش TNBS

گروه هفته	Pre treatment		Patient		P.V*
	تعداد	Mean Rank	تعداد	Mean Rank	
اول	۵	۳/۵۰	۵	۷/۵۰	۰/۰۳۲
دوم	۵	۳/۱۰	۵	۷/۹۰	۰/۰۱۱
سوم	۵	۳/۱۰	۵	۷/۹۰	۰/۰۱۰
ششم	۵	۳/۵۰	۵	۷/۵۰	۰/۰۳۶

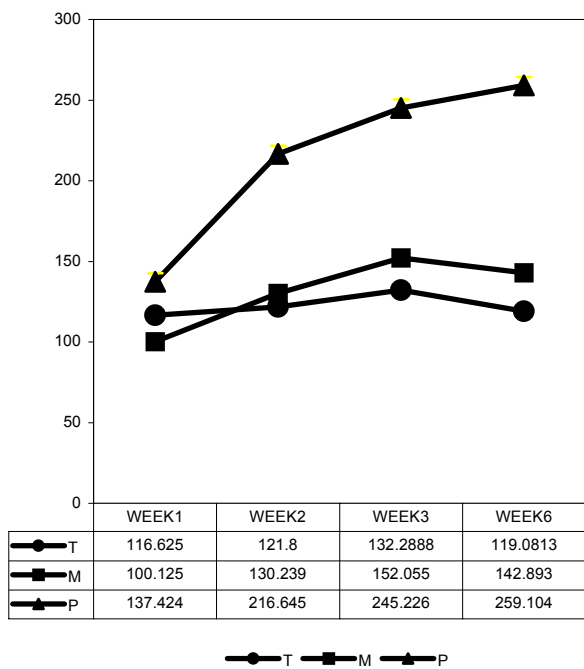
\*نتایج آزمون آماری در خصوص کلیه مشاهدات کلینیکی بین گروه P و M تفاوت معنی داری را نشان داد.

جدول ۴. نتایج حاصل از مشاهدات کلینیکی غونه‌های روده بین گروه بیمار (P) و گروه درمانی (T) در کولیت القاء شده با (Man-whitney U test) TNBS در هفته‌های اول، دوم، سوم و ششم با استفاده از روش

گروه هفته	Treatment		Patient		P.V*
	تعداد	Mean Rank	تعداد	Mean Rank	
اول	۵	۴/۳۰	۵	۶/۷۰	۰/۲۰۲
دوم	۵	۴/۲۰	۵	۶/۸۰	۰/۱۶۰
سوم	۵	۴/۷۰	۵	۶/۳۰	۰/۳۸۹
ششم	۵	۳/۷۰	۵	۷/۳۰	۰/۰۵۶

\* مقایسه آماری نتایج کلیه مشاهدات کلینیکی بین دو گروه T و P در هفته‌های اول، دوم، سوم و ششم تفاوت معنی‌داری نشان نمی‌دهد.

تنظیم‌کننده اینی، نقش اساسی در پاتوژنر IBD دارد، افزایش این سایتوکاین در سرم و نیز در مایع رویی غونه لامینا پروپریا در بیماران مبتلا به IBD [۲] و نیز افزایش قابل توجه mRNA، این سایتوکاین تا دو هفته بعد از القاء کولیت با استفاده از TNBS در رت گزارش شده است [۱۵].



نمودار ۱. مقایسه سطح سرمی IL-6 در هفته‌های اول، دوم، سوم و ششم در کولیت القاء شده با TNBS

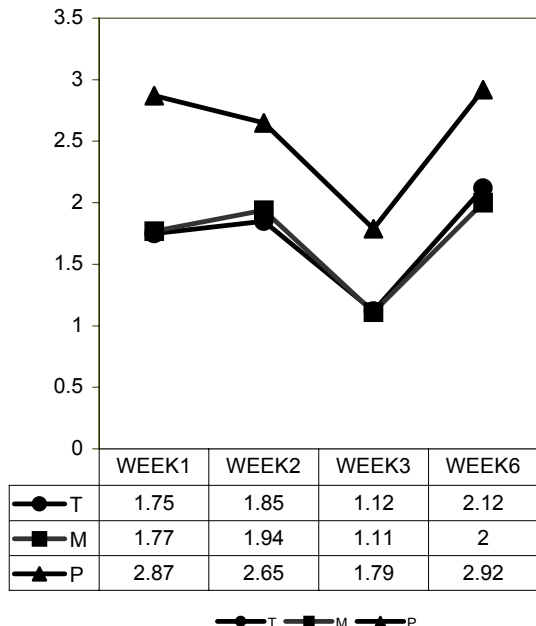
این سایتوکاین در ترشح مدیاتورهای التهابی دیگر، مقایز سلول‌های B و T، فعال کردن سلول‌های روده، موجبات آسیب آنرا فراهم می‌کند [۶]، که در بررسی حاضر میزان این

## بحث و نتیجه‌گیری

با توجه به نتایج حاصل از ارزیابی میکروسکوپیک و ماقروسکوپیک، جداول ۳ و ۴ که وجود اختلاف معنی‌دار را بین گروه M و P در ارزیابی کلینیکی و درجه‌بندی ضایعات ماقروسکوپی نشان می‌دهد و همچنین با توجه به اختلاف معنی‌دار بین گروه بیمار (P) و گروه‌های درمانی (T) و پیش‌درمانی (M) که در ارزیابی پاتولوژی مشاهده گردید، فتو‌میکروگراف‌های ۱، ۲، ۳ و ۴ تأییدکننده کاهش کلیه شاخص‌های التهابی اندازه‌گیری شده در اثر استفاده از LVA می‌باشد، از جمله کاهش اینفیلتراسیون سلول‌های التهابی به ویژه سلول‌های نوتروفیل که از مشخصه‌های مهم بیماری کولیت اولسروز می‌باشد [۳] و نقش اساسی در کولیت فعال دارند [۷] مؤید اثر مهاری LVA بر روند التهاب ایجاد شده در اثر TNBS می‌باشد که احتمالاً ناشی از اثر مهاری LVA بر مهاجرت و فعالیت نوتروفیل‌ها و جلوگیری از ترانس‌فورماتیون لنفوцит‌ها [۸] و یا اثر مهارکننده LVA در آزاد شدن مدیاتورها و آنزیم‌های تشیدکننده روند التهاب نظیر هیستامین و هیالورونیداز از سلول‌های Mast و سلول‌های دیگر باشد [۱].

امروزه به دلیل مشارکت سایتوکاین‌ها در التهاب روده و در پاسخ‌های اینی به این گروه از مولکول‌ها توجه خاصی معطوف شده است. IL-6 به عنوان یک فاکتور مهم التهابی و

با در نظر گرفتن کاهش سطح سرمی سایتوکاین‌های Pro-IL-6 و TNF- $\alpha$  مانند LTB<sub>4</sub> inflammatory نیز تخفیف علائم التهاب روده در گروه‌های تحت مطالعه بررسی حاضر و افزایش این سایتوکاین‌ها در بسیاری از شرایط پاتولوژیک و بیماری‌های التهابی به خصوص بیماری التهاب روده (IBD)، می‌توان با تنظیم مقدار LVA مورد نیاز در جهت تعدیل سایتوکاین‌های Pro-inflammatory LVA، نسبت به تجویز دوز مناسب LVA و تصحیح شرایط به منظور مهار التهاب، اقدام لازم در راستای تعدیل پاسخ‌هایی که منجر به تحریب بافت‌های روده در بیماری التهاب روده (IBD) می‌شوند به عمل آورد.

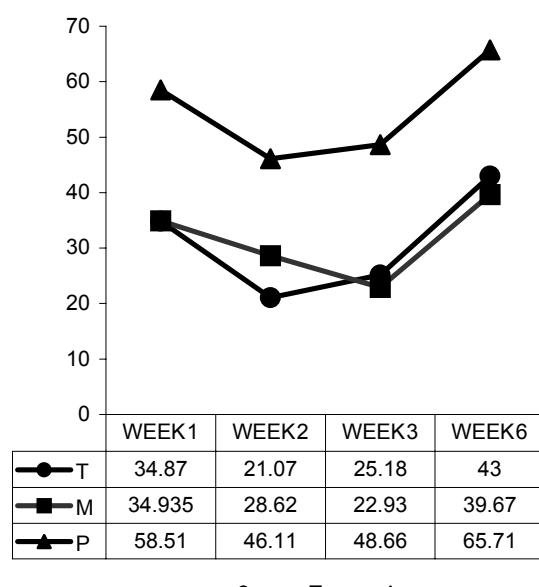


نمودار ۳. مقایسه سطح سرمی LTB<sub>4</sub> در هفته‌های اول، دوم، سوم و ششم در کولیت القا شده با TNBS

## منابع

- [1] Asada, M., Sugie, M., Inoue, M., Nakagomi, K., Hongo, S., Murata, K., Irie, S., Takeuchi, T., Tomizuka, N. and Oka, S., Inhibitory effect of alginic acids on hyaluronidase and on histamine release from mast cells, *Biosci. Biotech. Biochem.*, 61 (1997) 1030-1032.
- [2] Brown, K.A., Back, S.J., Ruchelli, E.D., Markowitz, J. and Mascarenhas, M., Lamina propria and circulating IL-6 in newly diagnosey pediatric inflammatory bowel disease patient, *Am. J. Gastroentrol.*, 97 (2002) 2603-8.

سایتوکاین در گروه‌های دریافت کننده LVA (گروه M و T) به طور معنی‌دار کاهش یافته بود (نمودار ۱). یک سایتوکاین Proinflammatory TNF- $\alpha$  قوی است و به نظر می‌رسد در پاتوژن بیماری IBD نقش کلیدی دارد [۱۰]. اثرات مفید کلینیکی متعاقب ایونوتراپی که منجر به کاهش و یا مهار تولید TNF- $\alpha$  می‌شود در IBD گزارش شده است [۱۶] که در بررسی حاضر LVA باعث کاهش قابل ملاحظه و معنی‌دار سطح عمومی TNF- $\alpha$  در کولیت ناشی از TNBS در کلیه هفته‌ها شده است (نمودار ۲).



نمودار ۲. مقایسه سطح سرمی TNF- $\alpha$  در هفته‌های اول، دوم، سوم و ششم در کولیت القا شده با TNBS

LTB<sub>4</sub> خاصیت کموتاکتیک قوی داشته و یک مدیاتور مهم التهابی محسوب می‌شود و گزارش شده است که مخاط روده بیماران مبتلا به IBD بسیار بیشتر از مخاط روده افراد سالم، اسید آراشیدونیک را به LTB<sub>4</sub> تبدیل می‌کند [۱۳]. همچنین گزارش شده است که مهار سنتر لوکوتربین‌ها منجر به بهبودی سریع زخم‌های کولون و بهبود التهاب کولون در مدل حیوانی می‌شود [۱۹]. در بررسی حاضر برای LTB<sub>4</sub> در گروه‌های T و M در مقایسه با گروه P کاهش معنی‌دار نشان داد که میان اثر تعدیلی LVA بر این مدیاتور التهابی می‌باشد (نمودار ۳).

- [11] QIU, B.S., Protection by recombinant human IL-11 against experimental TNB-induced colitis in rats, *Dig. Dis. Sci.*, 41(1996) 1625-30.
- [12] Sartor, R.B., Pathogenesis and immune mechanisms of chronic inflammatory bowel diseases, *Am. J. Gastroenterol.*, 92 (1997) 5S-11S.
- [13] Sharon, P. and Stenson, W.F., Enhanced synthesis of leukotriene B4 by colonic mucosa in inflammatory bowel disease, *Gastroenterology*, 84 (1984) 453-60.
- [14] Smidsrød, D. and Draget, K.I., Chemistry and Physical properties of alginat, *Carbohydrates in Europe*, 14 (1996) 6-13.
- [15] Sun, F.F., Lai, P.S., Yue, G., Yin, K. and Nagle, R.G., Pattern of cytokine and adhesion molecule mRNA in hapten induced relapsing colon inflammation in the rat, *Gastroenterology*, 121(2001) 1261-2.
- [16] Van-Deventer, S.J., New biological therapies in inflammatory bowel disease, *Best Pract. Res. Clin. Gasteroenterol.*, 17(2003) 119-30.
- [17] Vane, J.R., Inhibition of prostaglandin biosynthesis as a mechanism of action for aspirin-like drugs, *Nature New Biol.*, 231 (1997) 232-235.
- [18] Wallace, J.L., MacNaughton, W.K., Morris, G.P. and Beck, P.L., Inhibition of leukotriene synthesis markedly accelerates healing in a rat model of inflammatory bowel disease, *Gastroenterology*, 96 (1989) 29-36.
- [19] Wallace, J.L., Keenan, C.M., Gale, D. and Shoupe, T.S., Exacerbation of experimental colitis by nonsteroidal anti-inflammatory drugs is not related to elevated leukotriene B4 synthesis, *Gastroenterology*, 102 (1992) 18-27.
- [3] Eugenio, G., Gennaro, T. and Antonella, V., Dextran sulfate sodium (DSS) colitis in rats. Clinical, structural and ultrastructural aspects, *Dig. Dis. Sci.*, 44 (1999) 1458-1475.
- [4] Gerald, P., Morris, G.P., Paul, L., Beck, P.L., Margaret, S. and Myron, R., Hapten-induced model of chronic infammation and ulceration in the Rat colon, *Gastroenterology*, 96 (1989) 795-803.
- [5] Gross, V., Andus, T., Caesar, I. and Foth, M., Evidence for stimulation of interleukine-6 in Crohn's disease, *Gastroenterol.*, 102 (1992) 512-19.
- [6] Kumagai, K., Ohno, I., Okada, S., Ohkawara, Y., Suzuki, K., Shinya, T., Nagase, H., Iwato, K. and Shirato, K., Inhibition of matrix metalloproteinases prevents allergen-induced airway inflammation in a murine model of asthma, *J. Immunol.*, 162 (1999) 4212-4219.
- [7] Koizumi, M., King, N., Lobb, R., Benjamin, C. and Podolsky, D.K., Expression of vascular adhesion molecules in inflammatory bowel disease, *Gastroentrology*, 103 (1992) 840-847.
- [8] Mai, G.T., Seow, W.K. and Pier, G.B., Suppression of lymphocyte and neutrophile function by pseudomonas aeruginosa mucoideoxo polysaccharide (alginate), *Infect. Immun.*, 61(1993) 559-64.
- [9] Morris, G.P., Beck, P.L., Herridge, M.S., Depew, W.T., Szewczuk, M.R. and Waklce, J.L., Hapten-induced model of chronic inflammation and ulceration in the rat colon, *Gastroenterology*, 96 (1989) 795-803.
- [10] Natio, Y., Takagi, T., Handa, O. and Ishikawa, T., Inhannced intestinal inflammation induced by DSS in TNF- $\alpha$  deficient mice, *Eu. J. Gastroentrol. Hepatol.*, 18 (2003) 560-9.